

CMP Performance Analysis with gem5

Javier Andres Tarazona Jimenez
Ingénieur Degree Programme STIC ENSTA Paris Paris, France javier-andres.tarazona@ensta-paris.fr

Jair Anderson Vasquez Torres
Ingénieur Degree Programme STIC ENSTA Paris Paris, France jair-anderson.vasquez@ensta-paris.fr

Maeva Noukoua
Ingénieur Degree Programme STIC ENSTA Paris Paris, France maeva-sandy.noukoua@ensta-paris.fr

Carlos adrian Meneses Gamboa
Ingénieur Degree Programme STIC ENSTA Paris Paris, France carlos-adrian.meneses@ensta.fr

Abstract—...

Index Terms—...

I. ANALYSE THÉORIQUE DE COHÉRENCE DE CACHE

A. Q1 — Cohérence de cache et accès mémoire de test_omp

a) Contexte.: On considère une architecture CMP (plusieurs coeurs) avec un bus partagé et des caches privés par cœur (L1). Le programme `test_omp` réalise une multiplication de matrices $C = A \times B$ en parallèle via OpenMP. Dans ce TP, le nombre de threads est couplé au nombre de coeurs : $nthreads = ncores$.

b) Nature des accès.: Dans une multiplication de matrices, A et B sont essentiellement **lus**, tandis que C est **écrite**. Le parallélisme OpenMP répartit typiquement des lignes/blocs de C entre threads ; idéalement, chaque thread écrit dans une zone disjointe.

c) Cohérence (intuition type MESI).: Avec des caches privés, une même ligne mémoire peut être présente dans plusieurs caches. Un protocole de cohérence garantit qu'une écriture rend visibles les mises à jour :

- **Read miss** : chargement d'une ligne via le bus (depuis mémoire/niveau inférieur), puis réutilisation locale si la ligne reste en cache.
- **Write miss** : obtention de l'exclusivité sur la ligne, impliquant l'**invalidation** des copies chez les autres coeurs.
- **Writes successifs** : une fois la ligne exclusive, les écritures suivantes sont locales jusqu'à éviction.

d) Effets attendus sur A et B (lectures partagées).: Comme A et B sont read-only durant le calcul, les lignes peuvent être *partagées* dans les caches (état *Shared*). Le trafic bus provient surtout des accès initiaux (miss de froid) et des évictions lorsque la capacité L1 est insuffisante.

e) Effets attendus sur C (écritures).: Pour écrire C , chaque cœur doit obtenir l'exclusivité sur les lignes correspondantes. Si les zones écrites par thread sont disjointes et alignées, la cohérence génère peu d'interactions. En revanche, le **false sharing** peut apparaître : deux threads écrivent des éléments différents mais situés sur la *même ligne de cache*, ce qui provoque une alternance d'invalidations (« ping-pong ») et dégrade fortement le speedup.

f) Conséquence sur la scalabilité.: On s'attend à :

- un bon gain initial en augmentant *ncores* (parallélisme TLP) ;
- puis une saturation due à (i) contention mémoire/bus, (ii) surcoûts de cohérence (notamment via C), (iii) barrières OpenMP, et (iv) limites de capacité de cache (miss rate).

II. PARAMÈTRES DE L'ARCHITECTURE MULTICOEURS

A. Q2 — Paramètres par défaut d'un CPU OoO (BaseO3CPU)

a) Remarque.: Le fichier `O3CPU.py` sélectionne la variante OoO selon l'ISA. Les **paramètres par défaut** se trouvent dans `src/cpu/o3/BaseO3CPU.py`.

b) Paramètres OoO retenus (valeurs par défaut).: Nous reportons ci-dessous des paramètres structurants pour un cœur superscalaire out-of-order (largeurs du pipeline et taille des structures de renommage/exécution), ainsi que leur interprétation.

c) Lecture.: Ces valeurs indiquent un cœur OoO « large » (largeurs à 8) avec une fenêtre OoO conséquente (ROB=192). Dans le cadre du TP, augmenter la largeur (via `o3-width`) revient à contraindre/décontraindre ces largeurs effectives, ce qui agit sur la capacité à exploiter l'ILP à l'intérieur de chaque thread.

TABLE I: Paramètres OoO par défaut (extraits de BaseO3CPU.py) et rôle.

Paramètre	Défaut	Rôle / effet attendu
fetchWidth	8	Max instructions fetch/cycle : alimente le pipeline ; utile si le front-end est limitant.
decodeWidth	8	Max decode/cycle : limite la capacité de décodage avant renommage/dispatch.
issueWidth	8	Max instructions émises/cycle : augmente l'ILP exploitable si dépendances faibles.
commitWidth	8	Max instructions retirées/cycle : borne finale du débit d'instructions (retirement).
numROBEntries	192	Taille du ROB : fenêtre OoO plus large ⇒ meilleure tolérance aux latences (mémoire/branches).

B. Q3 — Valeurs par défaut des caches (Options.py)

a) Valeurs par défaut.: D'après configs/common/Options.py, les paramètres par défaut sont :

- L1D = 64 KiB, associativité 2-ways ;
- L1I = 32 KiB, associativité 2-ways ;
- L2 = 2 MiB, associativité 8-ways ;
- taille de ligne = 64 B.

TABLE II: Paramètres de caches par défaut (Options.py).

Niveau	Taille	Associativité
L1D	64KiB	2
L1I	32KiB	2
L2	2MiB	8
Cache line	64B	-

b) Commentaire.: Ces valeurs conditionnent le taux de miss et la pression mémoire. En multicœur, une augmentation de *ncores* augmente le volume de requêtes concurrentes, ce qui rend plus visibles la contention sur le bus/mémoire et les surcoûts de cohérence.

III. ARCHITECTURE MULTICOEURS AVEC DES PROCESSEURS SUPERSCALAIRES OUT-OF-ORDER (CORTEX A15)

A. Stratégie adoptée pour traiter la Q9

Pour répondre à la Q9 (faire varier le nombre de threads et la largeur superscalaire, puis produire un graphe 3D des cycles), nous avons mis en place une chaîne reproductible en quatre scripts :

- un script d'orchestration des simulations,
- un script gem5 SE adapté au modèle A15/o3,
- un script de post-traitement pour extraire les cycles et générer la visualisation,
- un script dédié à l'extraction/calcul de l'IPC.

Cette organisation permet de lancer une campagne complète, reprendre après erreur, tracer précisément chaque exécution, et générer automatiquement le CSV et la figure 3D demandés.

B. Script run_q9_a15.sh: orchestration de la campagne

Ce qu'il fait :

- lance toutes les combinaisons (size, width, threads) pour Q9 ;

- crée un répertoire de sortie par combinaison ;
- enregistre l'état d'avancement dans state.tsv (PENDING, DONE, FAILED) ;
- permet la reprise automatique après interruption/échec ;
- journalise chaque run dans un fichier de log dédié.

Comment il le fait :

- construit la commande gem5 avec -cpu-type=detailed, -o3-width, -num-cpus, et les arguments du benchmark ;
- exécute les runs séquentiellement et s'arrête au premier échec pour conserver un diagnostic clair ;
- relit state.tsv au redémarrage pour ignorer les cas déjà DONE ;
- supporte un mode de mitigation OpenMP (-omp-active-wait) via un fichier d'environnement passé à gem5.

C. Script se_a15.py: configuration gem5 pour A15/o3

Ce qu'il fait :

- instancie un système gem5 en mode syscall emulation (SE) ;
- configure des CPU de type detailed (modèle o3) ;
- applique la largeur superscalaire via o3-width ;
- exécute le binaire test_omp avec les paramètres threads et size.

Comment il le fait :

- s'appuie sur les options standard gem5 (Options.addCommonOptions, Options.addSEOptions) ;
- crée num-cpus coeurs simulés et fixe issueWidth pour chaque cœur ;
- configure hiérarchie mémoire/caches et lance la simulation avec Simulation.run() ;
- prend en charge un fichier -env pour injecter des variables OpenMP/libgomp si nécessaire.

D. Script plot_q9_cycles.py: extraction et visualisation

Ce qu'il fait :

- lit state.tsv et sélectionne les runs DONE valides ;
- extrait les cycles à partir des stats.txt de gem5 ;
- génère un CSV consolidé ;
- produit le graphe 3D demandé (threads, largeur, cycles).

Comment il le fait :

- vérifie les colonnes attendues de state.tsv et la présence des fichiers stats.txt ;
- récupère la métrique system.cpu*.numCycles et conserve la valeur maximale par run ;
- écrit q9_cycles.csv puis trace q9_cycles_3d.png avec Matplotlib ;
- signale explicitement les combinaisons manquantes/invalides non incluses dans la figure.

E. Script extract_q9_ipc.py: extraction de l'IPC

Ce qu'il fait :

- extrait sim_insts et numCycles des runs DONE ;
- calcule l'IPC pour chaque configuration (*width, threads*) ;
- exporte les résultats détaillés et les maxima.

Comment il le fait :

- lit state.tsv, filtre les runs valides et ouvre chaque stats.txt ;
- utilise max(system.cpu.numCycles) en multi-cœur, avec fallback system.cpu.numCycles en mono-cœur ;
- écrit results/images/A15/q9_ipc.csv et results/images/A15/q9_ipc_max.csv.

F. Expérimentation

L'expérimentation a été lancée avec le script run_q9_a15.sh en conservant les valeurs par défaut du script : size=64, widths={2, 4, 8}, threads en puissances de 2, caches activés, et sorties dans results/A15.

Nous visions initialement une exploration jusqu'à 64 threads. En pratique, les exécutions à forte concurrence ont présenté des SIGSEGV de gem5 (même après le message Done du benchmark), conformément au diagnostic détaillé dans docs/report/sections/A15_boundary.md.

Il est important de préciser que ce Done est imprimé par test_omp et signifie uniquement que le calcul applicatif est terminé ; il ne garantit pas la fin correcte de toute l'exécution gem5, puisque l'état DONE n'est validé que si le processus gem5 se termine avec exit=0.

La mitigation -omp-active-wait (réduction de l'usage de la voie futex/mutex) a été déterminante pour stabiliser les cas en largeur 4, notamment à partir de threads=16 et au-delà ; sans cette mitigation, plusieurs combinaisons échouaient.

a) Résultats numériques (extraits de results/images/q9_cycles.csv):

Width	Threads	Cycles
2	2	1282419
2	4	768565
2	8	515053
2	16	391465
2	32	341535
4	2	801594
4	4	520290
4	8	381832
4	16	318392
4	32	302483
8	2	785008
8	4	510238
8	8	376396
8	16	315224
8	32	299612

TABLE III: Cycles d'exécution obtenus pour Q9 (size=64).

b) Visualisation 3D:

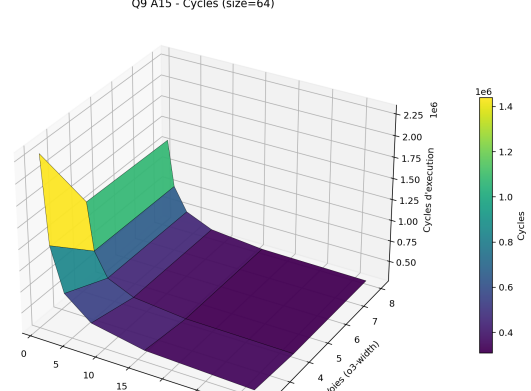


Fig. 1: Graphe 3D des cycles (X=threads, Y=voies/o3-width, Z=cycles).

c) Cycles de référence à 1 thread (extraits de results/images/q9_speedup.csv):

Width	Cycles (threads=1)
2	2308481
4	1365568
8	1334530

TABLE IV: Cycles de référence utilisés pour le calcul du speedup.

d) Calcul du speedup et résultats: Le speedup est calculé, pour chaque largeur w , par rapport au cas threads=1 de la même largeur :

$$S(w, t) = \frac{C_{w,1}}{C_{w,t}}$$

où $C_{w,t}$ est le nombre de cycles de la configuration (w, t) . Dans notre cas, les valeurs obtenues sont celles de results/images/q9_speedup.csv :

Threads	Speedup (w=2)	Speedup (w=4)	Speedup (w=8)
1	1.000	1.000	1.000
2	1.800	1.704	1.700
4	3.004	2.625	2.616
8	4.482	3.576	3.546
16	5.897	4.289	4.234
32	6.759	4.515	4.454

TABLE V: Speedup obtenu pour Q9 (size=64), calculé à partir de q9_speedup.csv.

e) IPC maximal par configuration: Pour traiter la question sur l'IPC, nous avons créé le script scripts/extract_q9_ipc.py. Ce script lit state.tsv et les stats.txt, calcule :

$$IPC(w, t) = \frac{\text{sim_insts}(w, t)}{\text{cycles}(w, t)}$$

et écrit les résultats dans :

- results/images/A15/q9_ipc.csv,
- results/images/A15/q9_ipc_max.csv.

Width	Threads au max	IPC max
2	32	14.696
4	32	19.221
8	32	23.301

TABLE VI: IPC maximal pour chaque largeur (size=64).

Le maximum global observé est **IPC = 23.301**, obtenu pour width=8 et threads=32.

G. Analyse de Résultats

a) Limites d'exécution en gem5 (SE) : nombre de threads et stabilité: Nous avions prévu d'explorer jusqu'à 64 threads, mais en pratique une limite nette de stabilité est apparue avec gem5-stable (mode SE) : au-delà d'un certain niveau de concurrence (dès threads=40 dans nos essais), gem5 termine en SIGSEGV (exit=139), parfois après que le benchmark ait affiché Done (le calcul applicatif est fini, mais la simulation n'est pas finalisée correctement). Cette limite est attribuée à une instabilité du simulateur plutôt qu'à un bug fonctionnel de test_omp (voir le diagnostic expérimental dans docs/report/sections/A15_boundary.md).

Un point important est que, dans ce TP, nthreads = ncores est imposé en mode SE (librairie pthreads en développement) : dans notre flot, threads est couplé à -num-cpus côté gem5 (cf. sujet du TP docs/consigne.pdf). Autrement dit, augmenter threads augmente aussi le nombre de coeurs simulés, ce qui amplifie la pression sur la hiérarchie mémoire, la cohérence, et la synchronisation.

b) Instabilité futex/mutex et mitigation -omp-active-wait (width ≥ 4): En plus de la limite « trop de threads », nous avons observé des échecs plus tôt pour des largeurs superscalaires plus élevées (à partir de width=4) quand le nombre de threads augmente. La cause la plus probable est liée au chemin de synchronisation OpenMP/libgomp en Linux : lors des barrières/verrous, libgomp utilise futex (*fast userspace mutex*) pour endormir/réveiller des threads sans consommer de CPU. Or, en gem5 SE (notamment sur des versions anciennes), la prise en charge de certains cas futex peut être incomplète/instable, et la fréquence accrue des synchronisations à forte concurrence augmente la probabilité de déclencher ce problème.

La mitigation utilisée est -omp-active-wait (décrise dans scripts/A15/A15_commands.md) qui injecte OMP_WAIT_POLICY=ACTIVE et un GOMP_SPINCOUNT très élevé : les threads attendent davantage en spinning en espace utilisateur, ce qui réduit les blocages/réveils via futex. Concrètement, cela a permis de faire passer des combinaisons qui échouaient auparavant (par exemple width=4 avec plusieurs threads), même si, à très forte concurrence, une instabilité résiduelle peut encore persister (voir docs/report/sections/A15_boundary.md).

c) Pourquoi les cycles diminuent quand on augmente les threads (TLP/CMP): La Table III montre une tendance monotone : à largeur fixe, plus le nombre de threads est grand, plus le nombre de cycles diminue. Cela s'explique principalement par le parallélisme au niveau des threads (TLP) sur une architecture CMP : chaque thread OpenMP exécute une partie du travail (multiplication de matrices) sur un cœur distinct, et le temps total est gouverné par le cœur le plus long

(métrique max(system.cpu*.numCycles)). En augmentant threads, on réduit la quantité de travail par cœur et on augmente le parallélisme global, donc le nombre de cycles d'exécution diminue.

Le gain reste cependant sous-linéaire (cf. Table V) à cause (i) des portions sérielles incompressibles (création/fin des threads, initialisations), (ii) des surcoûts de synchronisation (barrières OpenMP), et (iii) des effets de hiérarchie mémoire/cohérence quand beaucoup de coeurs accèdent aux mêmes structures de données (bus/mémoire partagés).

d) Pourquoi les cycles diminuent quand on augmente la largeur superscalaire (ILP/OoO): À nombre de threads donné, on observe aussi une baisse des cycles quand width augmente (Table III). Ici, width correspond au degré de traitement superscalaire côté cœur (dans nos scripts, c'est l'issueWidth du modèle o3). Une largeur plus grande permet d'émettre davantage d'instructions par cycle quand le code présente suffisamment d'indépendances (ILP), et l'exécution out-of-order contribue à mieux cacher des latences (par exemple en chevauchant calculs et accès mémoire). Cela correspond au positionnement “hautes performances” du Cortex-A15, conçu pour exploiter agressivement l'ILP.

La différence entre width=4 et width=8 devient toutefois plus faible à forte concurrence : une partie des cycles est alors contrainte par la synchronisation et la mémoire partagée, et non plus uniquement par la largeur d'émission d'instructions (rendements décroissants).

e) Lecture du graphe 3D: La Figure 1 illustre la même tendance sous forme de surface : on observe une « colline » pour threads faibles et width faible (beaucoup de cycles), puis une descente progressive quand on augmente l'un et/ou l'autre paramètre. Le « vallon » de cycles minimaux correspond à la zone de plus forte exploitation conjointe du parallélisme TLP (plus de coeurs) et de l'ILP (coeurs plus larges), dans la limite des surcoûts mémoire/synchronisation.

f) Speedup : pourquoi le maximum est à width=2 sans être le meilleur temps absolu: Dans la Table V, le meilleur speedup est obtenu pour width=2 et threads=32 ($S = 6.759$), supérieur à width=4 (4.515) et width=8 (4.454). Ce résultat s'explique d'abord par la définition du speedup : $S(w,t) = C_{w,1}/C_{w,t}$. Or, le cas mono-thread à width=2 est nettement plus lent ($C_{2,1}$ est bien plus grand que $C_{4,1}$ et $C_{8,1}$, Table IV), ce qui donne mécaniquement davantage de “marge” pour augmenter le ratio.

Ensuite, avec des coeurs plus larges (width=4/8), chaque cœur produit plus de requêtes et atteint plus vite un régime limité par des ressources partagées (mémoire, cohérence, barrières OpenMP). On « plafonne » donc plus tôt en speedup relatif, même si le temps absolu continue de baisser. En performance pure (cycles minimaux), la meilleure configuration observée est width=8, threads=32 (299 612 cycles, Table III). Ainsi, le “gagnant” dépend du critère : width=2 maximise le speedup relatif, tandis que width=8 minimise les cycles (et correspond mieux à une configuration A15 performante).

g) IPC : maximum à threads=32 et notion de « configuration la plus efficace »: La Table VI montre que, pour

chaque largeur, l'IPC maximal est atteint à `threads=32`, et que le maximum global est obtenu pour `width=8`, `threads=32` avec $IPC = 23.301$. Dans notre extraction, l'IPC est calculé comme `sim_insts/cycles` avec `cycles = max(system.cpu*.numCycles)` : c'est donc un *IPC global* (débit d'instructions agrégé sur la durée critique), qui augmente naturellement quand on ajoute des coeurs/threads et quand les coeurs sont plus capables de retirer des instructions.

Dans le cadre de ce TP et de cette métrique, `width=8`, `threads=32` est bien la configuration la plus “efficace” au sens *débit par cycle* et aussi la plus performante en cycles. En revanche, cela ne préjuge pas de l’efficacité énergétique ou du coût matériel (non modélisés ici), et le fait que `threads=32` soit maximal reflète aussi notre limite opérationnelle de stabilité (au-delà, gem5 devient instable).

REFERENCES

- [1] TP5, “Analyse de performances de configurations de microprocesseurs multicoeurs pour des applications parallèles,” document de travaux pratiques du cours.
- [2] O. Hammami, *Introduction à l'Architecture des Microprocesseurs*, ENSTA ParisTech, 828 Bvd des Maréchaux 91762 Palaiseau cedex, <https://www.ensta-paristech.fr>, ENSTA PARIS - Cours ES201, Année 2022.